



## دانشکده مهندسی برق و کامپیو تر گروه الکترونیک

پایان نامه

برای دریافت درجه کارشناسی ارشد در رشته مهندسی برق، گرایش الکترونیک - طراحی مدارهای

مجتمع آنالوگ و دیجیتال

عنوان

طراحی سنسور اندازه‌گیری خمش مبتنی بر فیبر نوری

استادان راهنما

دکتر منوچهر بهرامی

دکتر علی رستمی

پژوهشگر

عطاطقی پور

تابستان ۹۱

اللهم اجعل

تقدیم

پر مم بہ استواری کوہ

مادر مم بہ زلائی چشمہ آب

و

خواهر و برادر عزیزم

تقدیر و مشکر:

مشکر و سپاس پروردگار یکتا را که آثار قدرت او بر چهره روز روشن، تماشان است و انوار حکمت او در دل شب تار، در فیضان. آفریدگاری که در های علم را برم من گشوده و مرا یاری می کند تا در عرصه علم و دانش، پله های سعادت و تعالی را طی کنم و به او نزدیک تر کردم.

از پر دل سوز و مادر محربانم که اصلی ترین مشوق های من در راه کسب علم و معرفت هستند، بحال مشکر و قدردانی را دارم.

بهرین سکر اتم را تقدیم اساتید کر اتقدرم، آقایان دکتر منوچهر برامی و دکتر علی  
رسنی می نایم که در طول این دوره تحصیلی با صبر و حوصله یاریم نموده و همواره پشتیان و  
راه کشایم بودند. همین از آقایان دکتر حامد باغبان، دکتر فخر جنابی شریفی و دکتر  
شی جیاه کوبه خاطر مساعدت و یاری بند در انجام این پژوهه، نهایت سکر را دارم.

در نهایت از دوستان عزیزم و همه کسانی که مرادگارش این پایان نامه یاری کردند،  
کمال سکر را دارم.

عطائی پور

مرداد ۱۳۹۱

نام خانوادگی: تقی پور	نام: عطا
عنوان پایان نامه: طراحی سنسور اندازه‌گیری خمین مبتنی بر فیبر نوری	
اساتید راهنمای: دکتر منوچهر بهرامی، دکتر علی رستمی	
مقطع تحصیلی: کارشناسی ارشد دانشگاه: تبریز رشته: مهندسی برق - الکترونیک گرایش: طراحی مدارهای مجتمع آنالوگ و دیجیتال تاریخ فارغ‌التحصیلی: شهریور ۹۱	تعداد صفحه: ۹۳
واژه نامه: خمین، سنسور فیبر نوری، گریتینگ فیبر نوری برآگ، گریتینگ فیبر نوری با طول پریود طولانی	
<p><b>چکیده:</b> خمین یکی از پارامترهای مورد نظر مکانیکی است که اندازه‌گیری آن برای مقاصد خاصی مطلوب می‌باشد. امروزه سنسورهای مقاومتی برای تشخیص میزان خمین در یک جهت و یا دو جهت مخالف هم، به صورت محصول تجاری در دسترس می‌باشند. با این حال معایب موجود برای این نوع سنسور مانند حساسیت جانبی زیاد به دما و رطوبت، نویزپذیری از محیط اطراف، تشخیص میزان خمین تنها در یک یا دو جهت و ابعاد نسبتاً بزرگ باعث می‌گردد تا استفاده از این نوع سنسور خمین بسیار محدود باشد. از سویی دیگر سنسورهای فیبر نوری که در طی سالهای اخیر و با موفقیت فراوانی پا به عرصه رقابت سنسورها نهادند، فارغ از بسیاری از مشکلات بیان شده برای سنسورهای مقاومتی می‌باشند.</p> <p>مزیت‌هایی که سنسورهای فیبر نوری دارا می‌باشند از قبیل مصنونیت از سیگنالهای محیطی و مقاومت در برابر نویز، ابعاد بسیار کوچک، انعطاف‌پذیری مکانیکی و ...، باعث گردیده که محققان عرصه سنسورها به تلاش در جهت تحقق سنسور خمین مبتنی بر فیبر نوری با مزایای منحصر به فرد خود دست زنند. طی سالهای اخیر، تلاش‌هایی در جهت دست‌یابی به سنسور خمین مبتنی بر فیبر نوری انجام شده، اما همگی دارای کاستی‌هایی می‌باشند. در این پژوهه، هدف طراحی یک سنسور خمین مبتنی بر فیبر نوری است به طوری که تا حد ممکن فارغ از محدودیت‌هایی باشد که یک سنسور خمین می‌تواند دارا باشد. در این راستا، ابتدا مدلی جامع برای شبیه‌سازی سنسورهای خمین مبتنی بر فیبر نوری ارائه می‌گردد و سپس با استفاده از همین مدل، شبیه‌سازی سنسورهای نوری مبتنی بر فیبر نوری صورت می‌پذیرد. در نهایت و پس از ارزیابی نتایج شبیه‌سازی‌ها، سنسور خمینی مبتنی بر فیبر نوری ارائه می‌گردد که توانایی سنجش میزان خمین را بیشترین میزان مورد نظر، در بازه جهتی <math>0^{\circ}</math> تا <math>360^{\circ}</math> درجه را دارد و فارغ از حساسیت جانبی نسبت به فشار و دما می‌باشد.</p>	

فصل اول این پایاننامه شامل کلیات تحقیق و مفاهیم اساسی مرتبط با آن میباشد. فصل دوم جزئیاتی در مورد تئوری مساله و مدلی جامع برای شبیهسازی سنسور خمش مبتنی بر فیبر نوری ارائه میدهد. فصل سوم نتایج حاصل از شبیهسازی سنسورهای خمش مبتنی بر فیبر نوری را در برابر میگیرد. ارزیابی حساسیت‌های جانبی سنسور خمش مبتنی بر FBG در فصل چهارم گردآوری گشته است. فصل پنجم، یک نوع سنسور خمش مبتنی بر FBG که در برابر تغییرات دما و فشار مقاوم است را معرفی میکند. در نهایت، فصل ششم شامل نتیجه‌گیری و پیشنهادات در مورد پایاننامه است.

## فهرست مطالب

۱	فصل اول: کلیات تحقیق
۲	۱-۱ مقدمه
۵	۲-۱ سنسور خمّش
۶	۳-۱ سنسور خمّش مقاومتی
۹	۴-۱ سنسور خمّش مبتنی بر فیبر نوری
۹	۴-۲ فیبر نوری و مدهای انتشاری در آن
۱۷	۴-۳ گریتینگ فیبر نوری
۱۹	۴-۴ ۱-۲-۴-۱ گریتینگ فیبر نوری با طول پریود طولانی
۲۰	۴-۵ ۲-۲-۴-۱ گریتینگ فیبر نوری برآگ
۲۱	۴-۶ ۳-۴-۱ سنسور خمّش مبتنی بر LPFG
۲۳	۴-۷ ۴-۴-۱ تحقیقات انجام شده تاکنون در زمینه سنسور خمّش مبتنی بر LPFG
۲۶	۴-۸ ۵-۴-۱ سنسور خمّش مبتنی بر FBG
۲۷	۴-۹ ۶-۴-۱ تحقیقات انجام شده تاکنون در زمینه سنسور خمّش مبتنی بر FBG
۳۰	۵-۱ مقایسه بین انواع سنسورهای خمّش
۳۳	۵-۲ تئوری و مدل شبیه سازی سنسور خمّش مبتنی بر فیبر نوری
۳۴	۵-۳ ۱-۲ مقدمه
۳۴	۵-۴ ۲-۲ بررسی و تحلیل مکانیکی فیبر خم شده
۳۵	۵-۵ ۳-۲ مدلسازی فیبر نوری خم شده
۳۷	۵-۶ ۴-۲ تئوری و نحوه شبیه سازی سنسور خمّش مبتنی بر LPFG
۳۹	۵-۷ ۵-۲ تئوری و نحوه شبیه سازی سنسور خمّش مبتنی بر FBG

## فصل سوم: نتایج و بحث

۴۰

۴۱

۴۱ ۲-۳ بازه خمش در نظرگرفته شده برای شبیه‌سازی سنسورهای خمش مبتنی بر فیبر نوری

۴۱

۱-۲-۳ اتساع رگ آئورت و عمل جراحی اندوسکولار

۴۶

۲-۲-۳ کاربرد سنسور خمش مبتنی بر فیبر نوری در عمل جراحی اندوسکولار

۴۷

۳-۳ سنسور خمش مبتنی بر LPFG

۵۶

۴-۳ سنسور خمش مبتنی بر FBG

۶۱

۳-۵ ارزیابی سنسورهای خمش مبتنی بر LPFG و مبتنی بر FBG و مقایسه بین آنها

۷۱

فصل چهارم: حساسیت‌های جانبی سنسور خمش مبتنی بر FBG

۷۲

۱-۴ مقدمه

۷۳

۲-۴ حساسیت جانبی سنسور خمش مبتنی بر FBG نسبت به فشار

۷۷

۳-۴ حساسیت جانبی سنسور خمش مبتنی بر FBG نسبت به دما

۸۰

۴-۴ بحث پیرامون حساسیت‌های جانبی سنسور خمش مبتنی بر FBG

۸۱

فصل پنجم: سنسور خمش مبتنی بر FBG مقاوم در برابر تغییرات دما و فشار

۸۲

۱-۵ مقدمه

۸۳

۲-۵ پیاده‌سازی سنسور خمش مبتنی بر FBG مقاوم در برابر تغییرات دما و فشار بر روی فیبر

نوری خاص

۳-۵ معرفی سنسور تشخیص شکل<sup>۱</sup> مقاوم در برابر تغییرات دما و فشار بر پایه سنسور خمش

۸۵

مبتنی بر FBG بر روی فیبر نوری خاص

<sup>1</sup> Shape Sensing

۸۷

فصل ششم: نتیجه‌گیری و پیشنهادات

۸۸

۱-۶ مقدمه

۸۸

۲-۶ نتیجه‌گیری

۸۹

۳-۶ پیشنهادات

۹۰

مراجع

## فهرست شکلها

- شکل ۱-۱: (الف) و (ب): کاربرد سنسور خمث در تعیین وضعیت اندام‌های ورزشکاران در حین ورزش  
(ج): استفاده از سنسور خمث در تعیین وضعیت انگشتان روبات (د): کاربرد سنسور خمث در ساخت دستگاه‌های هوشمند ۳
- شکل ۱-۲: دایره به شعاع  $R$  عبور کننده از قسمت خم شده جسم ۵
- شکل ۱-۳: نمونه‌ای از سنسور خمث مقاومتی ۶
- شکل ۱-۴: خمث اعمالی به یک سنسور خمث مقاومتی ۷
- شکل ۱-۵: (الف): ساختار سنسور خمث بر پایه نانوکامپوزیت (ب): تغییر مقاومت دوسر لایه نانوکامپوزیت در اثر خمث [۳] ۸
- شکل ۱-۶: پرتوی نوری در برخورد به مرز مشترک بین دو محیط ۱۰
- شکل ۱-۷: انتقال نور در فیبر نوری ۱۰
- شکل ۱-۸: شکل مدهای مربوط به فیبر نوری ۱۳
- شکل ۱-۹: (الف): برقراری شرط بازتابش کلی در فیبر نوری مستقیم و انتقال پرتوی نوری (ب): نقض شرط بازتابش کلی در اثر خم شدن فیبر و فرار نور از ناحیه هسته به ناحیه پوسه ۱۵
- شکل ۱-۱۰: نمودار ثابت انتشار موج (نرمالیزه شده) بر حسب فرکانس (نرمالیزه شده) برای یک فیبر نوری نوعی و فرکانس‌های قطع و بحرانی مربوط به آن ۱۶
- شکل ۱-۱۱: گریتینگ فیبر نوری یکنواخت ۱۸
- شکل ۱-۱۲: LPFG و نحوه عملکرد آن ۱۹
- شکل ۱-۱۳: FBG و نحوه عملکرد آن ۲۰
- شکل ۱-۱۴: (الف): مفهوم پدیده جدایی مدر اثر خمث بر روی فیبر نوری حاوی LPFG (ب): رابطه بین میزان جدایی مدر و میزان خمث اعمالی [۱۲] ۲۲

۲۴

شکل ۱-۱۵: میزان جدایی مد بر اثر خمش [۱۱]

شکل ۱-۱۶ (الف): جابجایی طول موج براگ در اثر خمش (ب): نمودار میزان جابجایی طول موج  
براگ بر حسب میزان خمش [۱۴]  
۲۶

شکل ۱-۱۷-۱: FBG ایجاد شده که در مرکز سطح مقطع فیبر قرار ندارد [۱۵]  
۲۸

شکل ۱-۱۸-۱: نمودار جابجایی طول موج براگ بر حسب میزان خمش [۱۵]  
۲۸

شکل ۱-۱۹-۱: سطح مقطع فیبر نوری پلیمری با هسته نامرکزی [۱۴]  
۲۹

شکل ۱-۲۰-۱: جابجایی طول موج براگ بر اثر خمش در فیبر نوری هسته نامرکزی پلیمری [۱۴]  
۳۰

شکل ۲-۱: محورهای مختصات مربوط به سطح مقطع فیبر نوری خم شده حول دایره به شعاع R  
۳۵

شکل ۲-۲: رگ آئورت و مسیر آن در بدن  
۴۲

شکل ۲-۳: قسمت های مختلف رگ آئورت  
۴۳

شکل ۳-۱: اتساع رگ آئورت در قسمت های مختلفی از این رگ  
۴۴

شکل ۳-۲: عمل جراحی اندووسکوولار  
۴۵

شکل ۳-۳: قرار دادن استنت گرافت توسط میل جراحی در محل اتساع رگ آئورت  
۴۵

شکل ۳-۴: انجام عمل اندووسکوولار توسط پزشک زیر اشعه ایکس  
۴۶

شکل ۳-۵: شکل مدها و نمودار برش در جهت محور X شدت نور مربوط به مدهای LP<sub>01</sub>, LP<sub>04</sub> و  
LP<sub>04</sub>

شکل ۳-۶: به ازای مقدار خمش های  $K=0, 4, 10, 15, 20, 26m^{-1}$  که از شبیه سازی در طول موج LP<sub>13even</sub>

۴۸ به دست آمدند ۱۵۵۰nm

شکل ۳-۷: ضریب شکست موثر مدهای LP<sub>01</sub>, LP<sub>04</sub> و LP<sub>13even</sub> در طول موج ۱۵۵۰nm نسبت به  
۴۹

میزان خمش فیبر

شکل ۳-۸: طول موج های کوپل نور از مدهای LP<sub>04</sub> و LP<sub>13even</sub> به مدهای LP<sub>01</sub> و LP<sub>04</sub>  
۵۱

شکل ۳-۹: میزان جدایی مدها برای سنسور خمش مبتنی بر LPFG در بازه خمش مورد نظر  
۵۲

شکل ۱۱-۳: میزان کوپل نور از مد هسته به مدهای  $LP_{04}$  و  $LP_{13\text{even}}$  به ازای میزان خمshed  
۵۳ موردنظر

شکل ۱۲-۳: نمودار ضریب شکست فیبر نوری از نوع W در مقایسه با فیبر نوری عادی  
شکل ۱۳-۳: افزایش حساسیت سنسور خمshed مبتنی بر LPFG بر روی فیبر نوری از نوع W نسبت به  
۵۶ فیبر نوری عادی

شکل ۱۴-۳: سطح مقطع و ابعاد فیبر نوری چهارهسته‌ای  
شکل ۱۵-۳: (الف): فیبر نوری چهارهسته‌ای در پنج زاویه مختلف خمshed (ب): جابجایی طول موج  
۵۸ براگ در اثر خمshed (ج): میزان جابجایی طول موج براگ بر حسب میزان خمshed

شکل ۱۶-۳ فیبر نوری حاوی LPFG به علت طول زیاد آن در تشخیص خمshed‌های تیز دچار مشکل  
۶۳ می‌شود

شکل ۱۷-۳: هسته‌های شماره ۱ و ۲ تحریک شده در فیبر چهارهسته‌ای حاوی FBG  
شکل ۱۸-۳: پاسخ هر یک از هسته‌های شماره ۱ و ۲ سنسور خمshed مبتنی بر فیبر نوری ۴هسته‌ای  
۶۶ به ازای خمshed‌ها و زوایای خمshed متفاوت

شکل ۱۹-۴: تغییر طول فیبر بر اثر فشار  $24000Pa$   
شکل ۲۰-۴: تغییر سطح مقطع فیبر بر اثر فشار  $24000Pa$

شکل ۲۱-۴: مقایسه نتایج شبیه‌سازی و نتیجه تحلیل به دست آمده  
شکل ۲۲-۴: مقایسه نتایج شبیه‌سازی با نتیجه تحلیلی برای حساسیت جانبی نسبت به دما برای  
۷۸ سنسور خمshed مبتنی بر FBG

شکل ۲۳-۴: انبساط ایجاد شده در اثر افزایش دما به اندازه  $10^{\circ}C$  در فیبر نوری مورد نظر  
شکل ۲۴-۱: فیبر نوری ۷هسته‌ای مورد استفاده توسط NICT برای اهداف ارتباط نوری با نرخ بالا  
۸۴

شکل ۲-۵: میزان جابجایی طول موج برآگ در اثر خمش به ازای زوایای مختلفی از خمش برای یک هسته نامرکزی از فیبر نوری ۷هسته‌ای

شکل ۳-۵: سنسور Shape Sensing دچار خمش سه بعدی

## فهرست جداول

- جدول ۱-۱: مقایسه بین سنسور خمش مقاومتی و سنسور خمش مبتنی بر فیبر نوری ۳۱
- جدول ۳-۱: مقایسه سنسور خمش مبتنی بر LPFG و سنسور خمش مبتنی بر FBG ۶۹

## فصل اول:

كلمات تحقیق

## ۱-۱ مقدمه

حسگر<sup>۱</sup> (سنسور) دستگاهی است که کمیت فیزیکی مورد نظر را اندازه گرفته و آن را به شکل قابل فهم برای کاربر نشان می‌دهد. سنسورهای اندازه‌گیری دما، اندازه‌گیری فشار، اندازه‌گیری رطوبت، اندازه‌گیری میزان ماده مورد نظر در محیط مورد بررسی، تنها نمونه‌هایی از سنسورهای مورد استفاده در صنعت و دیگر زمینه‌های زندگی روزمره انسانها می‌باشند.

سنسورهای نوری<sup>۲</sup> از دو دهه قبل تاکنون توانسته‌اند نسل جدیدی از سنسورها را به جامعه علمی و صنعتی دنیا معرفی کنند. امروزه شرکت‌های صنعتی تولید کننده سنسورها نیز به سوی استفاده از تکنولوژی نوری در جهت ساخت و بهبود ویژگی‌های سنسورها گام بر می‌دارند و بیشتر این شرکت‌ها انواع سنسورهای نوری را به بازار عرضه کرده‌اند. بنابر گزارشی که از سوی انجمن پیشرفت صنعت اپتوالکترونیک آمریکا<sup>۳</sup> منتشر شد، مجموع سود شرکت‌های تولید کننده سنسورهای نوری در سال ۲۰۰۹ میلادی، بالغ بر ۵ میلیارد دلار بوده است [۱].

سنسورهای مختلفی با ساختار و اصول عملکرد متفاوت در حوزه سنسورهای نوری جای دارند. یکی از انواع سنسورهای نوری، سنسورهای نوری مبتنی بر فیبر نوری<sup>۴</sup> می‌باشند که به علت ویژگی‌های خاص خود بیش از انواع دیگر سنسورهای نوری مورد توجه بوده‌اند. از مزایای سنسورهای فیبر نوری نسبت به بقیه انواع سنسورها می‌توان به موارد زیر اشاره داشت [۱، ۲] :

- عملکرد بر اساس سیگنال نوری و مقاومت در برابر تداخل‌های فرکانسی و امواج الکترومغناطیسی
- وزن کم و ابعاد کوچک

<sup>1</sup> Sensor

<sup>2</sup> Optical Sensors

<sup>3</sup> Optoelectronics Industry Development Association (OIDA)

<sup>4</sup> Fiber Optic Sensors

- انعطاف‌پذیری مکانیکی قابل توجه فیبر نوری که منجر به کاربردهای ویژه سنسورهای فیبر نوری می‌شود.

- مقاومت فیزیکی در برابر شرایط نامناسب محیط مانند رطوبت، دما و وجود عامل‌های خورنده شیمیایی در محیط.

- سازگاری با سیستم‌های انتقال اطلاعات نوری.

خمش یکی از پارامترهای مطلوب اندازه‌گیری در موارد گستردگی‌های می‌باشد. اندازه‌گیری خمش در تعیین حالت سیستم‌های مکانیکی نقش اساسی را ایفا می‌کند. چنان اندازه‌گیری توسط سنسور خمش<sup>۱</sup> قابل انجام می‌باشد. مشخص نمودن وضعیت اندام‌های یک ورزشکار در حین ورزش، تعیین وضعیت قسمت‌های مختلف روبات‌ها، مشخص نمودن وضعیت انگشتان دست برای ساخت دستکش‌های هوشمند به عنوان دریافت اطلاعات از نحوه حرکت انگشتان، نمونه‌هایی از کاربرد سنسورهای خمش می‌باشند که در شکل‌های ۱-۱ (الف-د) نمایش داده شده‌اند.



(الف)

<sup>۱</sup> Bending Sensor



(ب)



(د)



(ج)

شکل ۱-۱ (الف) و (ب): کاربرد سنسور خمسم در تعیین وضعیت اندام‌های ورزشکاران در حین ورزش (ج): استفاده از سنسور خمسم در تعیین وضعیت انگشتان روبات (د): کاربرد سنسور خمسم در ساخت دستکش‌های هوشمند

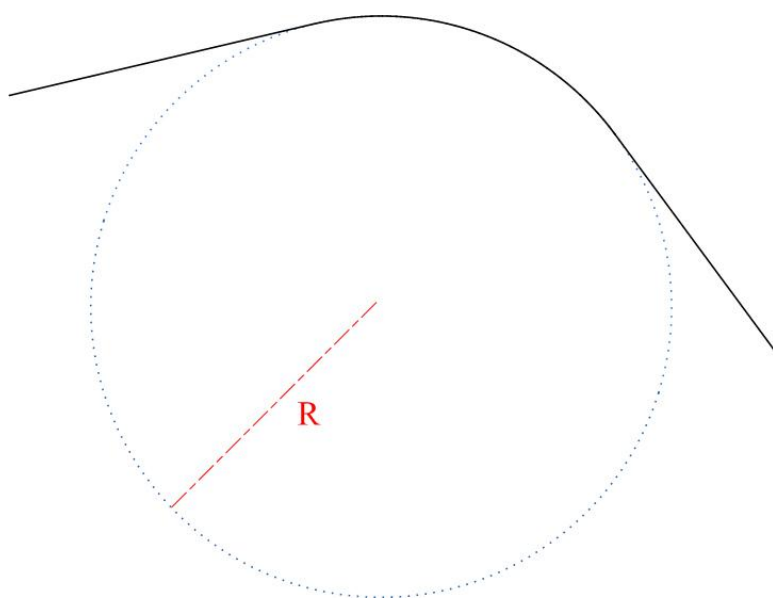
در ادامه، به توضیح دقیق‌تر در مورد سنسور خمسم و همچنین انواع سنسورهای خمسم ارائه شده، پرداخته خواهد شد.

## ۲-۱ سنسور خمش

سنسور خمش دستگاهی است که برای اندازه‌گیری میزان خمش مورد استفاده قرار می‌گیرد. میزان خم شدن یک ساختار با پارامتری به نام میزان احنا که با  $K$  نشان داده می‌شود، اندازه‌گیری می‌گردد. میزان احنا بر حسب  $m^{-1}$  به صورت زیر تعریف می‌شود:

$$K = \frac{1}{R} \quad (1-1)$$

در رابطه (1-1)،  $R$  بر حسب متر، بیانگر اندازه شعاع دایره‌ای است که قسمت خم شده سنسور خمش مورد نظر بر روی این دایره قرار می‌گیرد. شکل ۲-۱ نشان دهنده این مطلب می‌باشد.



شکل ۲-۱: دایره به شعاع  $R$  عبور کننده از قسمت خم شده جسم

خروجی یک سنسور خمش، اندازه  $K$  را نشان می‌دهد.